

Квантовые кооперативные явления в металлоксидных соединениях

Лекция 5:

Орбитальное упорядочение в соединениях со структурой пироксена.

Низкоразмерные магнетики.

Основное состояние твердого тела

С понижением температуры квантовомеханическая система занимает наиболее энергетически выгодное, максимально упорядоченное **ОСНОВНОЕ СОСТОЯНИЕ**. Энтропия системы убывает по мере уменьшения температуры. Способы формирования основного состояния – в зависимости от конкретной ситуации: без фазового перехода или при помощи фазовых превращений.

Температура – разупорядочивающий фактор.

Магнитное поле – упорядочивающее действие для магнитной подсистемы.

Зарядовое упорядочение

Орбитальное упорядочение

Магнитное упорядочение

Классические трехмерные ферро- и антиферромагнетики

Классическим случаем установления магнитного порядка в твердом теле является ферромагнитный или антиферромагнитный дальний порядок, спонтанно возникающий в 3D системе взаимодействующих ионов с локализованным магнитным моментом при понижении температуры.

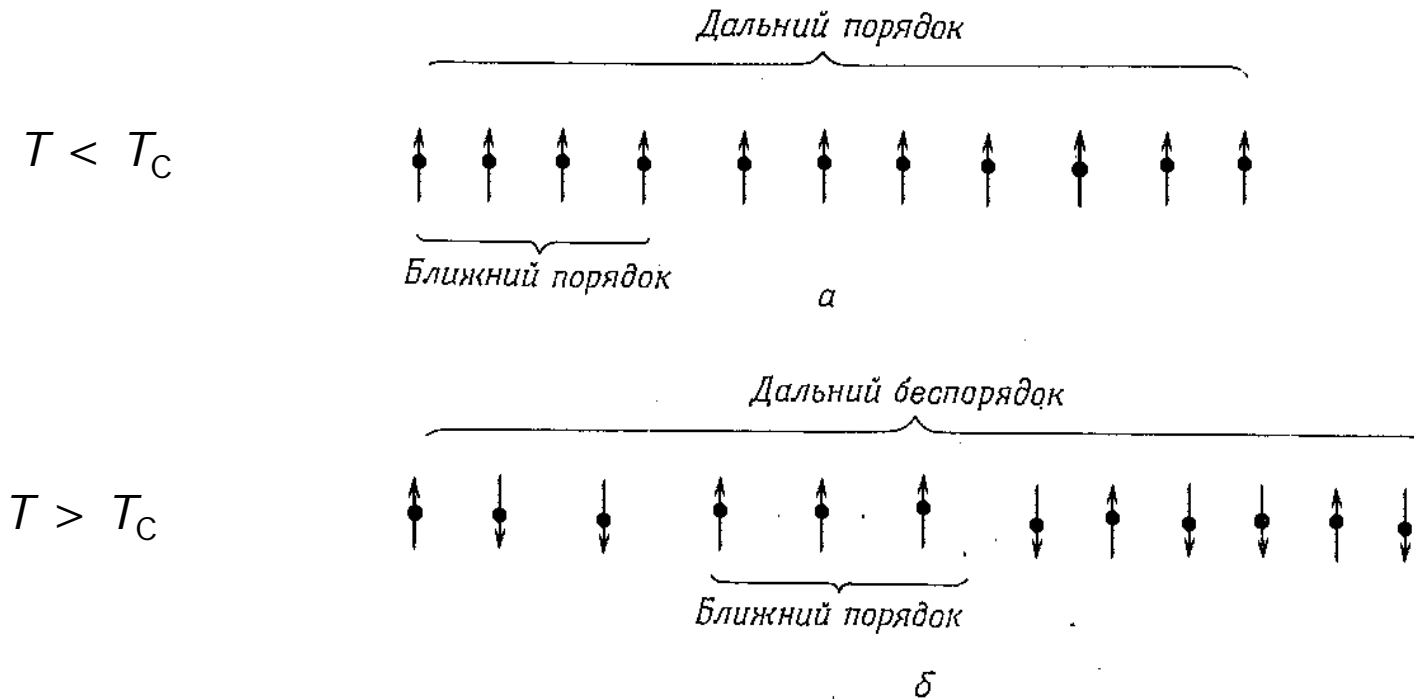
Установлено, что основное состояние в случае ферромагнетизма является бесщелевым, а в случае антиферромагнетизма основное состояние отделено от первого возбужденного щелью, возникающей за счет анизотропии системы по отношению к направлению внешнего магнитного поля.

Эффекты ближнего и дальнего порядка

Взаимодействия между магнитными ионами являются близкодействующими, то есть важно учитывать соседей по решетке не дальше 4-й координационной сферы, однако эффективные размеры этого взаимодействия гораздо больше. Магнитные взаимодействия существуют при любой температуре, при понижении T их эффективность возрастает.

В приближении молекулярного поля (МП) предполагается, что на выделенный ион действует эффективное магнитное поле H_m , создаваемое всеми другими ионами. В таком приближении $T_C = \Theta_{CW}$, что не выполняется на практике, поскольку теория МП не учитывает эффекты ближнего порядка. В реальных веществах взаимодействие между соседними атомами проявляется при $T \gg T_C$, а закон Кюри-Вейсса не выполняется вблизи T_C .

Эффекты ближнего и дальнего порядка



- (а) Наличие дальнего порядка гарантирует наличие ближнего порядка;
(б) из наличия ближнего порядка не следует наличие дальнего порядка.

Классические трехмерные ферро- и антиферромагнетики

С понижением температуры эффективность магнитных взаимодействий растет, и при некоторой критической температуре в системе происходит фазовый переход в упорядоченное состояние. При фазовом переходе в узкой области температур наблюдаются аномалии на температурных зависимостях магнитной восприимчивости $\chi(T)$ и теплоемкости $C(T)$, и возникает спонтанная намагниченность в системе.

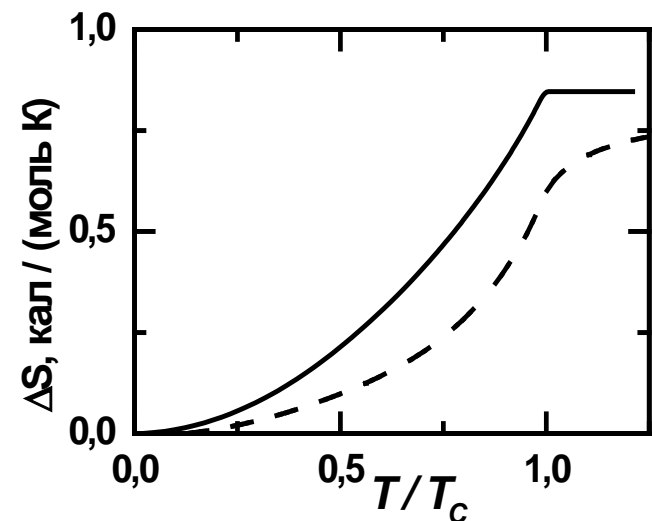
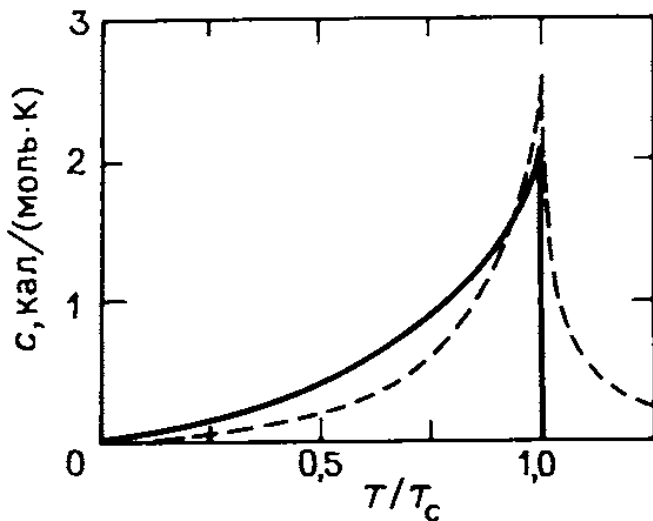
Для любого типа магнитного упорядочения (фм или афм) переход в упорядоченное состояние является фазовым переходом, и при T_C наблюдается аномалия (как правило λ -типа) в теплоемкости. В случае АФМ установлено соотношение между $C(T)$ и $\chi(T)$, согласно которому аномалии в теплоемкости определяются положительным бесконечным градиентом $\chi_{||}(T)$ при T_C :

$$C(T) = A \frac{\partial(T\chi_{||}(T))}{\partial T}$$

Классические трехмерные ферро- и антиферромагнетики

Полный порядок в магнитной системе будет достигнут только при $T = 0$, а с ростом температуры увеличивается отношение тепловой энергии к энергии магнитного взаимодействия, соответственно, растет беспорядок в системе. При этом энтропия возрастает, следовательно, существует магнитный вклад в теплоемкость:

$$\Delta S_M = \int_0^T C_M(T) d \ln T$$



Сплошная линия – расчет по теории молекулярного поля, обменное взаимодействие не учитывается. Пунктир – данные для Ni.

Классические трехмерные ферро- и антиферромагнетики

Проинтегрировав $C(T)/T$, можно рассчитать магнитную энтропию. Изменение молярной энтропии, связанное с эффектами дальнего порядка составляет:

$$\Delta S_M = R \ln(2S+1)$$

Ожидаемое изменение ΔS_M в интервале $0 < T < T_C$ никогда не достигается в реальных веществах, поскольку эффекты ближнего порядка при $T > T_C$ всегда вносят дополнительный вклад в дальнедействующее упорядочение. Часть энтропии набирается системой при $T > T_C$, поэтому ΔS_M ($0 < T < T_C$) всегда меньше величины, рассчитанной по формуле.

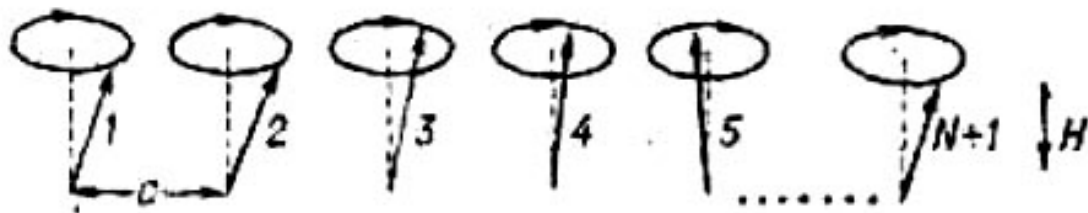
Величина магнитной энтропии, выделяющаяся при T_C , называется критической энтропией $\Delta S_C = \Delta S_M(T_C)$ и может служить характеристикой «идеальности» системы (100% энтропии при T_C выделится в отсутствии эффектов ближнего порядка).

Коллективные магнитные возбуждения в ферромагнетике

Метод спиновых волн позволяет рассмотреть коллективные магнитные возбуждения на фоне основного состояния системы как температурную активацию **магнитных квазичастиц**, называемых **магнонами (спиновыми волнами)**.

В основном состоянии ферромагнитная система полностью упорядочена, все спины выстроены параллельно – это состояние является **«вакуумом»**, нет никаких частиц. Возбуждение системы соответствует тому, что спин «отклоняется» от упорядоченного состояния, то есть одна из его компонент изменяет свое значение. Такие **элементарные возбуждения** называют **магнонами**. При $T \neq 0$ над вакуумом существует газ квазичастиц. Каждый магнон соответствует возбуждению одного спинового отклонения, и является, таким образом, коллективным возбуждением всей системы с сильной пространственной корреляцией электронных спинов. При этом количество упорядоченных спинов уменьшается.

Спиновые волны в ферромагнетике



Цепочка спинов в магнитном поле H :

- магнитные моменты направлены против поля;
- спины прецессируют вокруг направления H .

Если прецессия происходит синфазно ($\omega_0, k = 0$), то спиновой волны нет.

Если прецессия происходит в разных фазах, то возникает спиновая волна. На рисунке – «моментальный» снимок неоднородной прецессии.

Спиновые волны в ферромагнетике



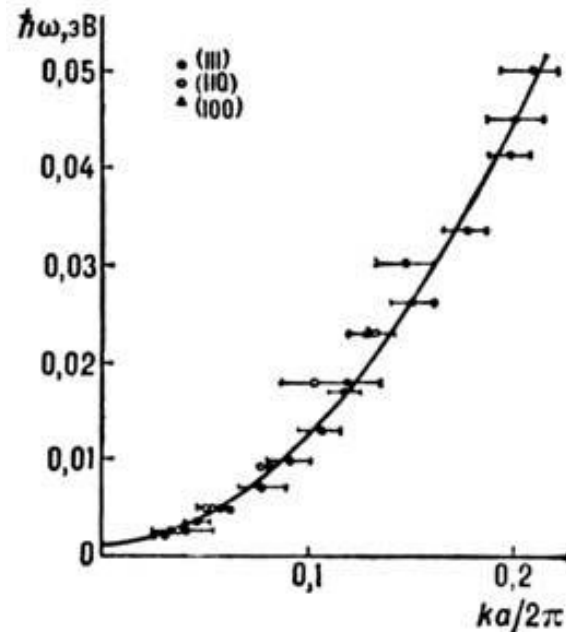
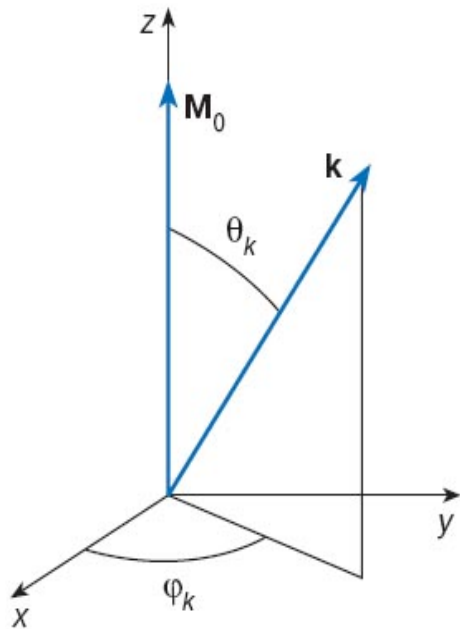
Внешнего магнитного поля нет. Спины в цепочке связаны обменным взаимодействием. Переворот одного спина на каком-то узле приведет к проигрышу в обменной энергии. Система поглощает энергию в виде коллективного возбуждения – отклонение спина от «правильного» положения размазывается по всем ионам в системе. Возникает волна намагниченности.

а) вид спиновой волны сбоку

б) вид сверху

Коллективные магнитные возбуждения в ферромагнетике

Спиновые волны (= квазичастицы магноны) в изотропном ферромагнетике обладают квадратичным законом дисперсии $\omega(k) \sim k^2$.



сплав CoFe

Для простой решетки с периодом a и взаимодействием только ближайших соседей при малых значениях волнового вектора энергия магнона пропорциональна k^2 :

$$E_q \approx 2SJ(ka)^2$$

Коллективные магнитные возбуждения в ферромагнетике

Магноны в ферромагнетике ведут себя как слабо взаимодействующие квазичастицы и подчиняются статистике Бозе-Эйнштейна ($S = 1$), их спектр является бесщелевым. Таким образом, при $T = 0$ все магноны находятся в основном состоянии с нулевой энергией (Бозе-конденсат).

Чем выше температура, тем больше амплитуда спиновых волн, тем большее количество магнонов присутствует в ферромагнетике.

При повышении температуры возникает n_m возбужденных магнонов. Полный спин системы NS уменьшается на n_m , и намагниченность убывает.

Магноны в ферромагнетике вносят дополнительный вклад в удельную теплоемкость пропорциональный $C_m \sim T^{3/2}$.

Магноны играют большую роль в процессах релаксации (спин-спиновая и спин-решеточная).

Коллективные магнитные возбуждения в антиферромагнетике

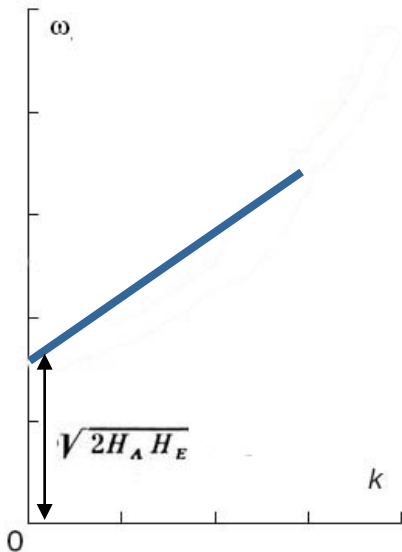
В основном состоянии в антиферромагнетике две подрешетки с независимыми магнитными моментами M_1 и M_2 компенсируют намагниченность друг друга.

Применение метода спиновых волн к антиферромагнитной системе также возможно, но в этом случае необходимо сразу учесть присутствие внутреннего «поля анизотропии» H_A , которое параллельно локальной ориентации спинов в каждом узле (направлено «вверх» в узле со спином +1, и направлено «вниз» в узле со спином -1). Это поле определяет направление оси квантования, которое может не совпадать с направлением внешнего поля, и стабилизирует это направление. Существование поля анизотропии приводит к тому, что основное состояние антиферромагнетика является устойчивым и отделено щелью в спектре магнонов от первого возбужденного состояния.

Коллективные магнитные возбуждения в антиферромагнетике

В антиферромагнетике типа «легкая ось» существуют две ветви спиновых волн:

$$\omega_{1,2}(k) = \gamma \sqrt{2H_A H_E + (\alpha_{\parallel} k_{\parallel})^2 + (\alpha_{\perp} k_{\perp})^2}$$



В случае $\mu H_A \ll pSJ$ (p – число ближайших соседей) частота магнона будет линейно зависеть от волнового вектора, также как и для спектра фононов $\omega \sim k$.

Вклад магнонов в удельную теплоемкость будет в этом случае пропорционален $C_m \sim T^3$.

Величина щели 100 – 1000 ГГц.

Коллективные магнитные возбуждения в антиферромагнетике

Рождение магнона в антиферромагнетике связано не с переворотом одного спина, а с появлением двух спиновых отклонений на соседних ионах. Даже при $T = 0$ среднее спиновое отклонение не обращается в ноль, а ведет себя подобно интегралу:

$$n \sim \frac{N}{2} \int \frac{1}{q} d\vec{q}$$

Этот интеграл сходится, только когда \vec{q} принадлежит двумерному или трехмерному множеству, а в 1D случае интеграл расходится, то есть, в одномерном антиферромагнетике нет устойчивого упорядоченного состояния даже при $T = 0$. Но в 2D и 3D случаях флуктуации, связанные не с температурным возбуждением магнонов, а с обменным взаимодействием соседей уже достаточны, чтобы разрушить основное упорядоченное состояние, и магнитный момент каждой из подрешеток не достигает максимума.

Число магнонов в АФМ и ФМ

С ростом температуры число магнонов n_m в объеме магнетика V растет:

$$n_m \sim V \left(\frac{T}{T_C} \right)^{3/2} \quad \text{в ферромагнетике}$$

$$n_m \sim V \left(\frac{T}{T_N} \right)^3 \quad \text{в антиферромагнетике}$$

Такая же зависимость от температуры характерна для магнонного вклада в теплоемкость при низких температурах:

$$C_m \sim T^{3/2} \quad \text{в ферромагнетике}$$

$$C_m \sim T^3 \quad \text{в антиферромагнетике}$$

Перерыв

Квантовые модели Изинга и Гейзенберга

Система взаимодействующих 3D спинов описывается в общем случае гамильтонианом типа:

$$\hat{H} = -\sum_{ij} J_{ij} \hat{S}_i \hat{S}_j$$

Чтобы определить, к примеру, форму температурной зависимости теплоемкости $C(T)$ вблизи T_C , необходимо найти решения этого гамильтониана взаимодействующей системы многих тел. Такую задачу не удастся решить точно, ввиду ее до сих пор непреодолимой математической сложности, и описание кооперативных явлений и фазовых переходов в системе производится на основе экспериментальных данных и численных расчетов. Чтобы получить некоторые теоретические предсказания, необходимо упростить гамильтониан.

Квантовые модели Изинга и Гейзенберга

Первым тривиальным шагом является предположение, что обменное взаимодействие является постоянной величиной для трех направлений в решетке ($J_x = \text{const}$, $J_y = \text{const}$, $J_z = \text{const}$). Тогда гамильтониан системы выражается через сумму произведений операторов проекций полного спина узла:

$$\hat{H} = -\sum_{ij} \left(J_x \hat{S}_i^x \hat{S}_j^x + J_y \hat{S}_i^y \hat{S}_j^y + J_z \hat{S}_i^z \hat{S}_j^z \right)$$

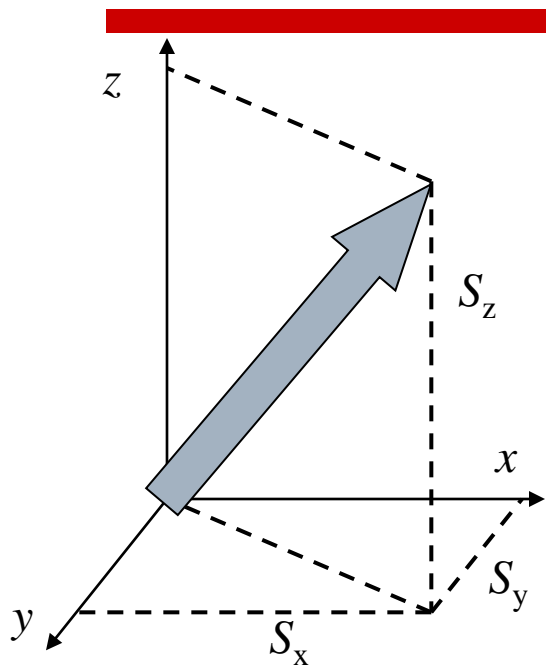
Следующим шагом упрощения является ограничение дальности взаимодействия. Рассматривается взаимодействие ионов, отстоящих друг от друга на 1-2 периода решетки, размерность системы понижается. Многие термодинамические параметры зависят от размерности магнитной подсистемы гораздо сильнее, чем от кристаллической структуры вещества.

Квантовые модели Изинга и Гейзенберга

Размерность спина	Константы обмена	Модель
$n = 3$ $S_x^2 + S_y^2 + S_z^2 = S(S+1)$	$J_x = J_y = J_z$ $J_x = J_y, J_z = 0$ $J_x = J_y = 0, J_z$	Гейзенберга XY Z
$n = 2$ $S_x^2 + S_y^2 = S(S+1)$	$J_x = J_y$ $J_x = 0, J_y$	Планарная Планарная модель Изинга
$n = 1$ $S_z^2 = S(S+1)$	J_z	Изинга

L.J. de Jongh and A.R. Miedema. Adv. Phys., **23**, pp. 1-26 (1974)

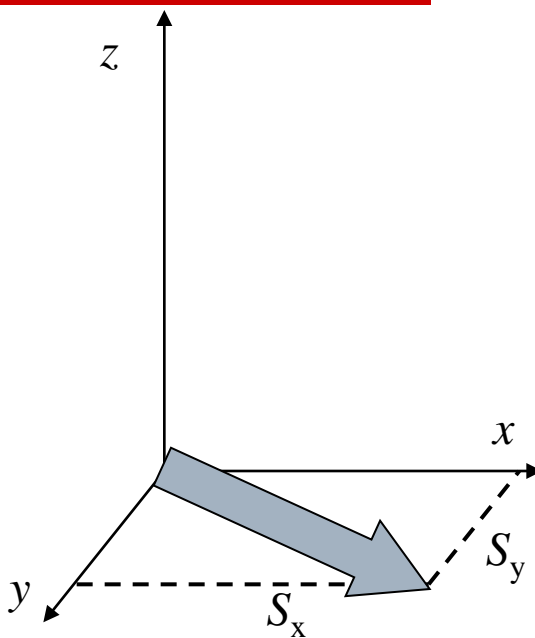
Уменьшение размерности спина



$$n = 3$$

$$S_x^2 + S_y^2 + S_z^2 = S(S+1)$$

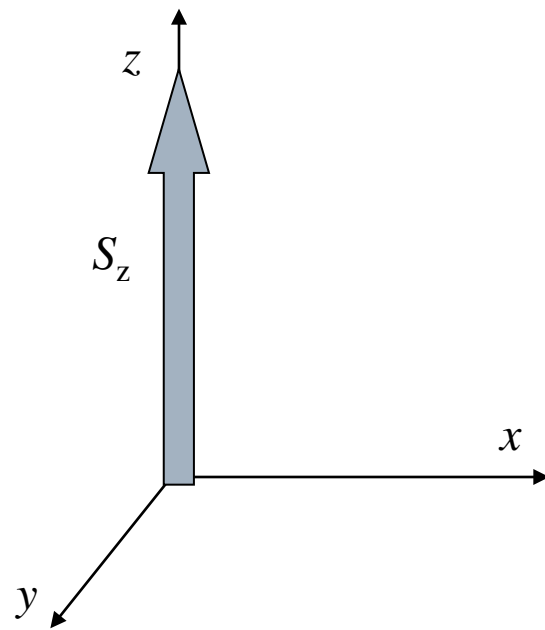
Модель Гейзенберга



$$n = 2$$

$$S_x^2 + S_y^2 = S(S+1)$$

$$S_z = 0$$



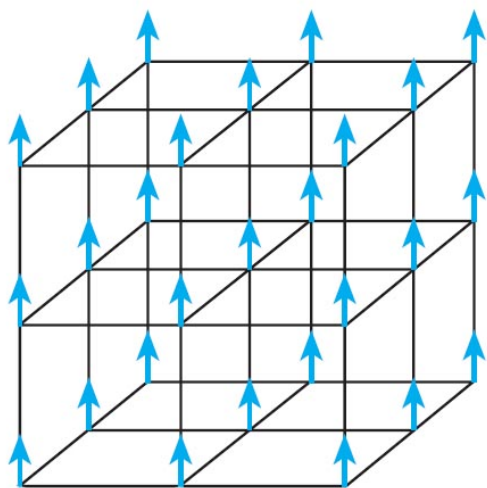
$$n = 1$$

$$S_z^2 = S(S+1)$$

$$S_x = S_y = 0$$

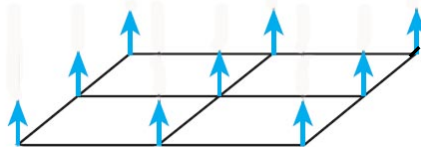
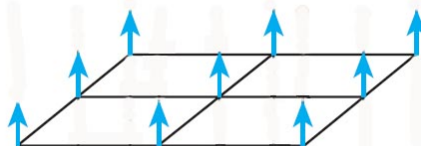
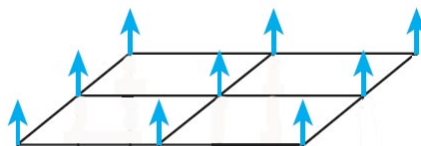
Модель Изинга

Уменьшение размерности магнитной подсистемы



$$J_x = J_y = J_z$$

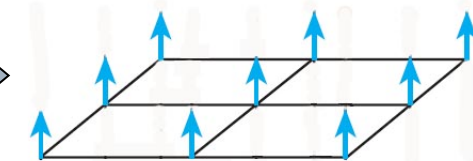
3D ФМ



$$J_x = J_y \gg J_z$$

2D ФМ

J_z

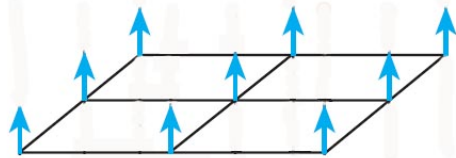


$$J_x = J_y, J_z = 0$$

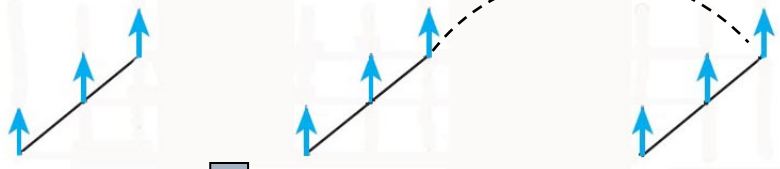
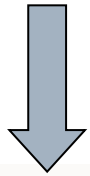
2D ФМ

изолированная
плоскость

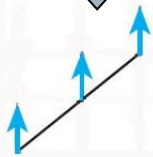
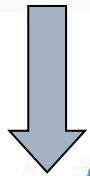
Уменьшение размерности магнитной подсистемы



$J_x = J_y, J_z = 0$ 2D ФМ изолированная плоскость



$J_x \gg J_y$ 1D ФМ



$J_x, J_y = 0$ 1D ФМ изолированная цепочка

Квантовая модель Гейзенберга

Изотропное обменное взаимодействие, описываемое моделями Гейзенберга ($n = 3, J_x = J_y = J_z$) и планарной ($n = 2, J_x = J_y$) возможно только для высокосимметричного расположения магнитных ионов в системе. Общий вид гамильтониана в этом случае:

$$\hat{H} = -J \sum_{ij} \hat{\vec{S}}_i \hat{\vec{S}}_j$$

Несмотря на массу возможностей для анизотропии, существует много систем, где такие модели применимы. Как правило, магнетизм в этих соединениях связан с присутствием ионов Mn^{2+} , Fe^{3+} , Gd^{3+} , Eu^{2+} . Примером магнитного диэлектрика, для которого расчеты магнитной теплоемкости по модели Гейзенберга дают хорошее согласие с экспериментом, является KNiF_3 . Это соединение имеет высокосимметричную кубическую структуру перовскита, спин $S = 1$ находится на ионе Ni^{2+} .

Квантовая модель Изинга

Модель Изинга соответствует сильной анизотропии. Рассматривается оператор проекции спина только на одно направление, гамильтониан системы упрощается, и уровни энергии имеют следующий вид:

$$E = -J \sum_{ij} \sigma_i \sigma_j$$

где спиновое число в каждом узле решетки может принимать два значения $\sigma_i = \pm 1$. Такая модель не дает точного описания ферромагнитной или антиферромагнитной системы, она интересна тем, что допускает математическое решение.

Лучшими примерами 3D систем Изинга являются изоморфные соединения Cs_3CoCl_5 и Rb_3CoCl_5 . Их тетрагональная структура содержит ионы Co^{2+} ($S=3/2$) в тетраэдрическом окружении ионов Cl, разделенные ионами Cs(Rb) и ионами Cl так, что магнитные атомы образуют простую кубическую решетку.

Квантовая модель Изинга

Преимущество модели Изинга состоит в том, что расчет термодинамических свойств можно свести к комбинаторной задаче. Энергия системы и статистическая сумма записываются в виде:

$$E = -pN \frac{J}{2} + 2N_{\uparrow\downarrow} J$$
$$Z = y^{-\frac{pN}{4}} \sum_{N_{\uparrow} N_{\uparrow\downarrow}} g(N, N_{\uparrow}, N_{\uparrow\downarrow}) = y^{-\frac{pN}{4}} \Lambda_N(y)$$

где p - координационное число решетки, N - полное число атомов в системе, $N_{\uparrow(\downarrow)}$ - число атомов со спином направленным вверх (вниз), $N_{\uparrow\downarrow}$ - число пар соседних спинов с антипараллельным направлением спинов, $g(N, N_{\uparrow}, N_{\uparrow\downarrow})$ - число способов, которыми можно реализовать в решетке N_{\uparrow} спинов вверх, чтобы при этом было ровно $N_{\uparrow\downarrow}$ пар соседних антипараллельных спинов, $y = e^{-2J/kT}$.

Точные решения задачи Изинга

Задача Изинга допускает точное решение для двух частных случаев:

- 1) Расчет основного состояния линейной бесконечной цепочки магнитных атомов. Для доказательства используется общая техника "*Bethe ansatz*", впервые для этого случая примененная Изингом.
- 2) Расчет основного состояния 2D квадратной решетки, проведенный Онзагером.

Для 3D решеток точных решений задачи Изинга не найдено. Можно предположить, что в 3D системе топологические условия более благоприятны для реализации упорядоченного основного состояния, чем в 2D и 1D случаях

Решение задачи Изинга в одномерном случае

Линейная бесконечная цепочка магнитных атомов, связанных антиферромагнитным обменным взаимодействием J .



Важным результатом точного решения в 1D случае является то, что решение, соответствующее появлению спонтанной намагниченности в системе при $T \neq 0$, отсутствует, то есть линейная бесконечная цепочка магнитных атомов не упорядочивается при любой конечной температуре. Основное состояние достигается только при $T = 0$, щели в энергетическом спектре магнитных возбуждений нет.

Решение задачи Изинга в одномерном случае

Дальний порядок в цепочке атомов, связанных обменным взаимодействием J , разрушается переворотом одного спина. При этом магнитная энергия увеличивается на J , а энтропия увеличивается на $k \ln N$. Изменение свободной энергии при перевороте спина записывается как:

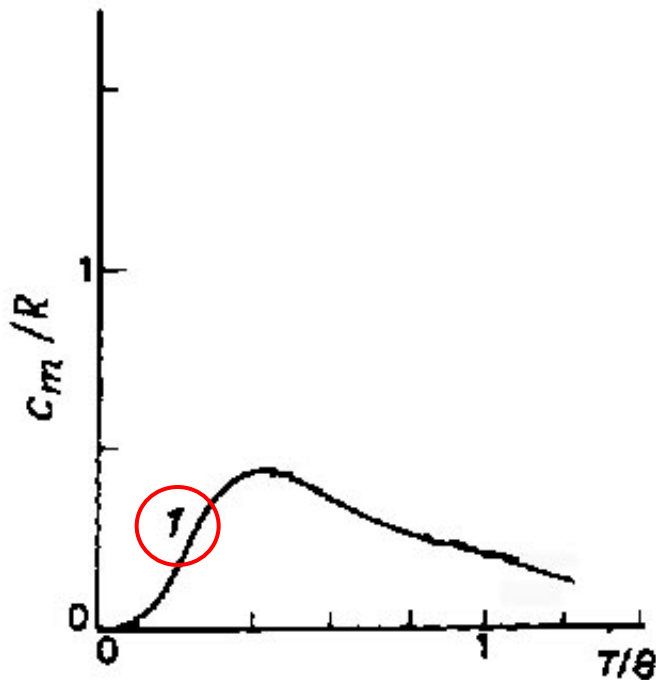
$$\Delta F = J - kT \ln N$$

и может быть сделано отрицательным при любой сколь угодно низкой температуре, за счет выбора достаточно большого значения N – числа атомов в цепочке.

Решение задачи Изинга в одномерном случае

Свободная энергия является непрерывной функцией температуры, магнитная теплоемкость определяется формулой:

$$C_M = R \left(\frac{J}{kT} \right)^2 \operatorname{sch}^2 \left(\frac{J}{kT} \right)$$



Одномерный случай (кривая 1) – магнитная теплоемкость имеет плавный максимум в окрестности $kT = J$, но не обнаруживает фазового перехода.

Решение задачи Изинга в одномерном случае

Благодаря уникальной возможности точного решения задачи Изинга в одномерном случае, теория свойств одномерной магнитной цепочки со спином $S = 1/2$ подробно разработана, сделано множество численных расчетов, и эти результаты подтверждены экспериментально. Дальнейшее усложнение магнитной структуры и реальные взаимодействия между низкоразмерными элементами в 3D кристалле приводят к появлению совершенно новых свойств в этих системах. Примерами могут служить спин-Пайерлсовский переход, обнаруженный в CuGeO_3 - единственном на сегодняшний день неорганическом веществе с такими свойствами, и сложный фазовый переход в NaV_2O_5 , связанный с зарядовым упорядочением, структурным превращением и открыванием щели в спектре магнитных возбуждений.

Решение задачи Изинга в двумерном случае

Изменение свободной энергии в этом случае равно:

$$\Delta F = LJ - kT \ln L^3$$

и становится положительным при температуре $T < 2J / k \ln 3$. Ниже этой температуры в основном состоянии будет магнитный порядок, устойчивый по отношению к переворотам спинов в решетке.

Результаты точного расчета определяют значение критической температуры T_C , ниже которой 2D решетка спинов Изинга ферромагнитна или антиферромагнитна:

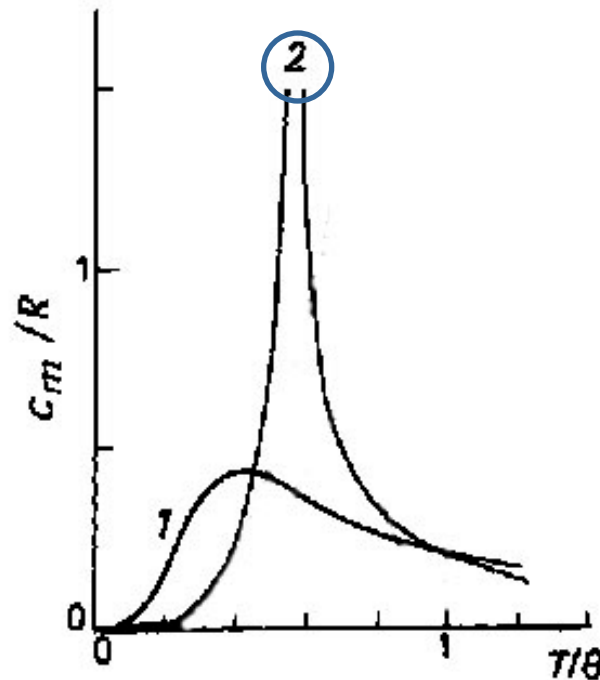
$$kT_C = \frac{2J}{\ln(1 + \sqrt{2})}$$

Решение задачи Изинга в двумерном случае

Свободная энергия является в этом случае непрерывной функцией температуры, но $C(T_C) \rightarrow \infty$, а по обе стороны от T_C спадает по логарифмическому закону.

При понижении температуры происходит 3D упорядочение, поскольку в реальном кристалле цепочки или слои магнитных ионов взаимодействуют между собой. При этом на $C(T)$ обычно наблюдается особенность λ -типа.

Особенность логарифмического характера, предсказанная Онзагером, до сих пор не наблюдалась ни в одном реальном веществе.



Магнитная энтропия

Характеристикой магнитной модели, выбранной для описания системы, может служить сравнение экспериментально полученной величины критической энтропии ΔS_C и теоретической оценки $R \ln(2S+1)$. При $T > T_C$ эффекты ближнего порядка обуславливают 3D упорядочение, при этом величина ближнего взаимодействия зависит как от природы решетки, так и от выбранной модели.

Расчеты показывают: $\Delta S_C / S_T \sim 80\%$ в модели Изинга,

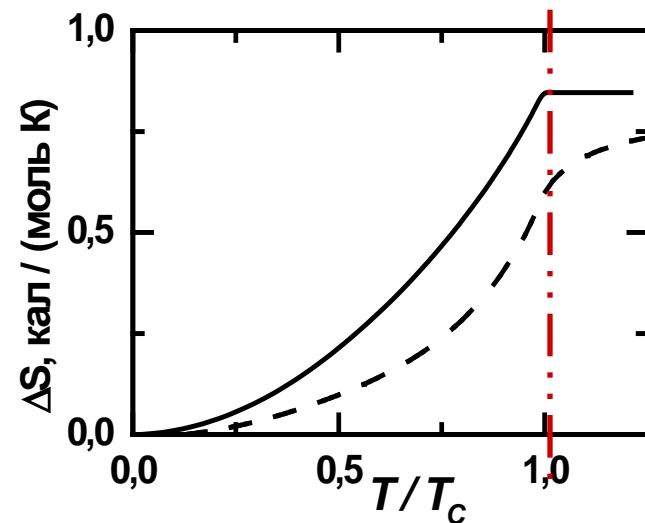
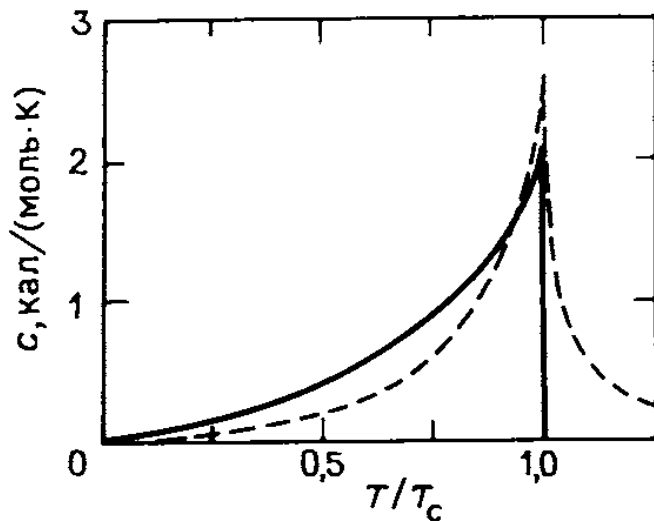
в модели Гейзенберга $\Delta S_C / S_T$ меньше,

то есть роль взаимодействий ближнего порядка в модели Гейзенберга заметно возрастает.

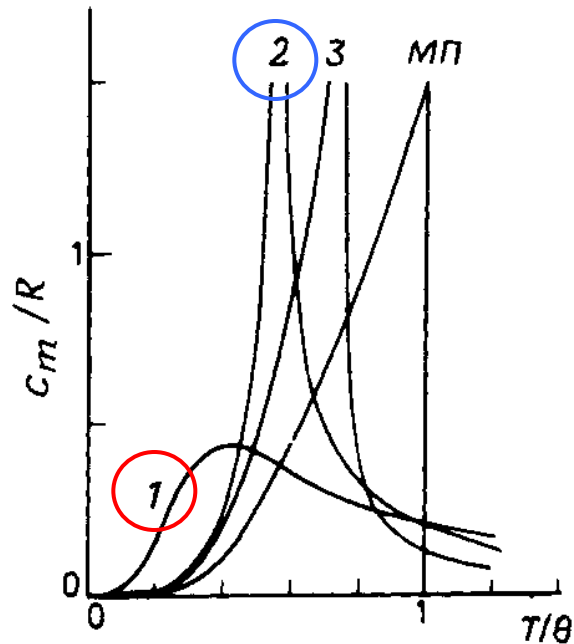
Магнитная энтропия

“Хвост” магнитной теплоемкости при $T > T_C$ для модели Изинга примерно в три раза меньше, чем для модели Гейзенберга, то есть магнитные взаимодействия для второй модели начинают проявляться при более высоких температурах.

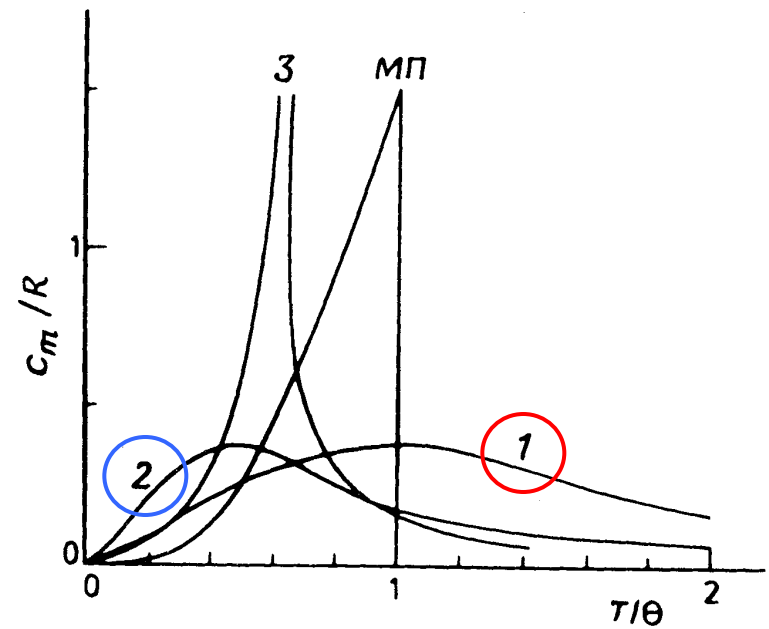
Пунктир – ион Ni^{2+} -высокосимметричный гейзенберговский ион



Теплоемкость в моделях Изинга и Гейзенберга для $S = 1/2$



Расчеты по модели Изинга.
Для 1 и 2 – точные решения.



Расчеты по модели Гейзенберга.
Эффекты ближнего порядка
проявляются при более высоких T .